

## Фуллерены и Фуллериты В Полимерной и Керамической Матрицах

С. А. Жданок<sup>1</sup>, Э. М Шпилевский<sup>1</sup>, Г. Шилагарди<sup>2</sup>, Х.Цоохуу<sup>2</sup>, Р.Галбадрах<sup>2</sup>,  
Л.Энхтур<sup>2</sup>, Ж.Ванчинхуу<sup>3</sup>

<sup>1</sup>ИТМО им. А.А. Лыкова НАН Беларуси, г. Минск, [shpilevsky@itmo.by](mailto:shpilevsky@itmo.by)

<sup>2</sup>Монгольский национальный университет, г. Улан-Батор, [gshilagardi@yahoo.com](mailto:gshilagardi@yahoo.com)

<sup>3</sup>Ховдонский пединститут, г. Ховд, [jvanchinkhui@yahoo.com](mailto:jvanchinkhui@yahoo.com)

### ВВЕДЕНИЕ

Фуллерены являются уникальными углеродными наночастицами. С их открытием в конце прошлого века материаловеды получили принципиально новые инструменты для конструирования материалов и структур и управления их свойствами. За короткое время появились тысячи публикаций как по методам синтеза фуллеренов, так и их использованию в разработке новых материалов [1, 2].

Фуллерены получали на разработанном с участием автора технологическом комплексе, базирующемся на использовании в качестве сырья спектрально чистого графита и принципе электродугового разряда [3]. Изготавливались и исследовались структуры: фуллерита  $C_{60}$ ,  $Al_2O_3 - C_{60}$ , полизтилен высокого давления (ПЭВД) -  $C_{60}$ . Пленки с различной концентрацией фуллеренов, осаждённые в вакууме (или высаженные из раствора) на подложку из монокристаллического или окисленного кремния, стекла, титана, поваренной соли, исследовались методами рентгенографии, растровой электронной и атомно-силовой микроскопии, а также механических и триботехнических испытаний.

### ФУЛЛЕРЕНЫ И ФУЛЛЕРИТЫ

Большое число разнообразных соединений углерода обусловлено способностью атомов углерода изменять состояния своих внешних электронов. Четыре внешних электрона углерода не одинаковы – они соответствуют различным орбитаям; два электрона не спарены. В связанном

(валентном) состоянии один из электронов  $2s$  переходит на  $p$ -орбиталь (для этого понадобится около 96 ккал/моль) так, что состояние атома может быть выражено:  $1s^2 2s^1 2p^3$ . В результате получим атом с тремя  $2p$  и одним  $2s$ -электронами. Возможны несколько типов гибридизации:  $sp$ ,  $sp^2$  и  $sp^3$ . При гибридизации типа  $sp$  смешиваются атомные орбитали  $s$  и  $p$ .

Тип гибридизации внешних электронов определяет структурную форму аллотропного соединения углерода. Для получения той или другой аллотропной формы углерода важно создать соответствующие состояния валентных электронов. Известны [1] несколько типов фуллеренов  $C_{60}$ ,  $C_{70}$ ,  $C_{80}$ ,  $C_{84}$ , при конденсации которых формируются полупроводниковые кристаллы с разными кристаллографическими решётками. Представленные в данной статье результаты получены на пленках фуллерита  $C_{60}$  или пленках веществ, содержащих фуллерены  $C_{60}$ .

Установлена способность фуллерита  $C_{60}$  полимеризоваться при повышенных температурах и давлениях, а также при воздействии излучений. Показано, что механические свойства фуллерита  $C_{60}$  нелинейно зависят от температуры, нанотвердость фуллеритовой пленки, осажденной на неподогреваемую подложку из окисленного кремния, составляет 0,8 ГПа.

Полученные в вакууме пленки фуллерита  $C_{60}$  имели поликристаллическую структуру с характерным размером зёрен 80-100нм. На рис. 1 приведена структура поверхности пленки фуллерита  $C_{60}$ , сформированной на кремни при 160°C

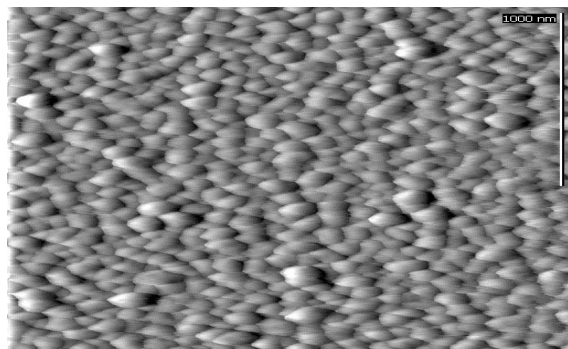


Рис.1. ACM-изображение поверхности пленки фуллерита С60, сформированной на кремни при 160°C

**Фуллерены в полимерах.** Полученные в последние годы фуллеренсодержащие полимеры можно разделить условно на четыре типа: звёздаобразные (у таких полимеров молекула фуллерена выполняет роль ядра, к

которому присоединены линейные цепочки матрицы); «жемчужное ожерелье» (такие полимеры содержат молекулы фуллерена в основной цепи); «браслет с подвесками» (такие полимеры содержат молекулы фуллерена в боковых заместителях и являются, разновидностью гребнеобразных полимеров); - «нерегулярная сетка» (в таких полимерах содержащие молекулы фуллерена цепочки замкнуты). Физико-механические свойства композитов, сформированных из растворов, определяли на разрывной машине «Инстрон» при скорости движения подвижных захватов 60 мм/мин. Деформационно-прочностные характеристики наполненных полимеров - приведены в табл. 1 и 2.

Таблица 1

Физико-механические свойства композита ПЭВД+С<sub>60</sub>

Массовая доля С60, %	Предел упругости при растяжении, $\sigma_y$ , МПа	Прочность при разрыве, $\sigma_p$ , МПа	Относительное удлинение при пределе упругости, $\varepsilon_y$ , %	Модуль упругости, E, МПа
0,0	5,2	8,8	4,1	131
0,01	7,4	10,1	5,0	147
0,05	6,6	10,6	4,1	166
0,1	5,2	9,0	3,6	147
0,25	6,0	9,4	5,6	113

Изменением состава композиционного материала на основе полимера и углеродных наночастиц можно управлять его свойствами. При этом все получаемые материалы имеют низкую плотность и повышенную температурную устойчивость. Допиривание полимерного материала фуллеренами и фуллереноподобными частицами приводит к значительному повышению прочности материала, снижению коэффициента трения, изменению упругих характеристик и других

свойств материала. Свойства полимеров в большой степени зависят от долевого содержания фуллеренов. В области невысоких концентраций взаимодействие поверхности фуллеренов с полимерными молекулами происходит повышение эффективной плотности полимера. Связи макромолекул с поверхностью частиц можно рассматривать как дополнительные узлы пространственной структуры.

Таблица 2

Значения коэффициентов трения ПЭВД, модифицированного различными методами  
(нагрузка – 13 кПа, путь трения – 120-130 м)

Метод модификации и наполнитель	Время процесса, ч	Коэффициент трения	
		без отжига	с отжигом
Исходный ПЭВД	-	0,66	0,55
Пропитка (Ф)	0,5	0,55	0,44
	1	0,42	0,40
	24	0,57	0,44
Электролитическое саждение (УНТ)	0,25	0,59	0,53

Наполнитель влияет на условия надмолекулярного структурообразования матрицы, изменяя состояние полимера на поверхности наполнителя. Кроме того, фуллереновые кластеры проявляют способность сами структурироваться в полимерной матрице.

**Фуллерены в керамиках.** Модифицирование керамик фуллеренами приводит к увеличению износостойкости и снижению коэффициента трения. Кроме того, происходит коренное изменение характера

изнашивания: увеличивается несущая способность более чем в четыре раза, износ покрытий уменьшается многократно [4].

В настоящей работе исследовались триботехнические характеристики оксидокерамики  $\text{Al}_2\text{O}_3$  с различной массовой долей введенных в поверхностный слой фуллеренов  $\text{C}_{60}$ . На рис.2 приведены зависимости износа стали 65 Г от пути трения по оксида-керамике с различной концентрацией в ней фуллеренов.

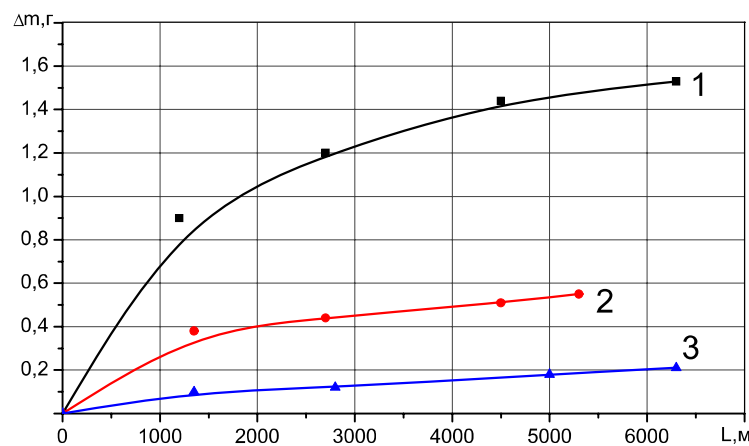


Рис. 2. Зависимость износа стали 65 Г от пути трения по оксида-керамике с различной концентрацией в ней фуллеренов: 1 – без наполнения фуллереном  $\text{C}_{60}$ , 2 – 0,45  $\text{мг}/\text{см}^2$ , 3 – 0,15  $\text{мг}/\text{см}^2$

В нашем случае введение фуллеренов в керамику с концентрацией 0,15  $\text{мг}/\text{см}^2$  сопровождается уменьшением коэффициента

Повышение концентрации фуллеренов до 0,45  $\text{мг}/\text{см}^2$  приводит к дальнейшему снижению коэффициента трения (до 2 раз), более интенсивному выглаживанию контактирующих поверхностей. При этом менее выражен эффект повышения износостойкости стали (в 3 раза).

трения в 1,5 раза, износа стали – в 8 раз и существенной интенсификацией стадии приработки.

Рисунок 3 иллюстрирует виды микроструктуры поверхностей пар трения покрытие – сталь для немодифицированного и модифицированного  $\text{C}_{60}$  оксида-керамических покрытий.